

รูปแบบของอุปกรณ์มังಡดที่เหมาะสมสำหรับห้องเรียน
: การให้แสงสว่างธรรมชาติ และลดการถ่ายเทความร้อนเข้าสู่ภายในอาคาร

นางสาวกนกวรรณ อุสันโน



สถาบันวิทยบริการ

วิทยานิพนธ์นี้เป็นส่วนหนึ่งของการศึกษาตามหลักสูตร ปัจยกรรมศาสตรมหาบัณฑิต

ภาควิชาสถาปัตยกรรมศาสตร์

บัณฑิตวิทยาลัย จุฬาลงกรณ์มหาวิทยาลัย

ปีการศึกษา 2539

ISBN 974-636-753-6

ลิขสิทธิ์ของบัณฑิตวิทยาลัย จุฬาลงกรณ์มหาวิทยาลัย

**THE APPROPRIATE OF SHADING DEVICES FOR CLASSROOMS
: DAYLIGHT UTILIZATION AND HEAT GAIN REDUCTION**

Miss Kanokwan Usanno

A Thesis Submitted in Partial Fulfillment of the Requirements

for the Degree of Master of Architecture

Department of Architecture

Graduate School

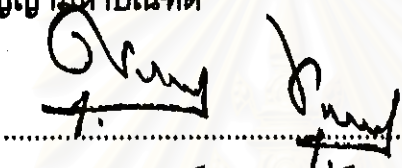
Chulalongkorn University

Academic Year 1996

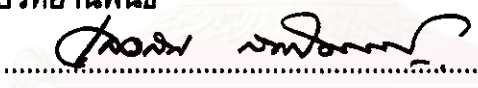
ISBN 974-636-753-6

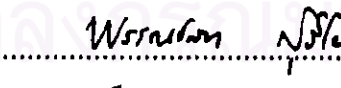
หัวข้อวิทยานิพนธ์ รูปแบบของอุปกรณ์บังแดดที่เหมาะสมสำหรับห้องเรียน :
การให้แสงสว่างธรรมชาติและลดการรำข่ายเพื่อความร้อนเข้าสู่ภายในอาคาร
โดย นางสาว กาน.rarณ อุสันโน
ภาควิชา สถาปัตยกรรมศาสตร์
อาจารย์ที่ปรึกษา รองศาสตราจารย์ ดร.สุนทร บุญญาธิกา^r
อาจารย์ที่ปรึกษาawan อาจารย์ พรวนชลักษณ์ สุริโยธิน

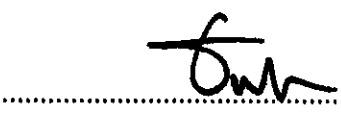
บันทึกวิทยาลัย 茱ฬาลงกรณ์มหาวิทยาลัย อนุมัติให้นักวิทยานิพนธ์นี้เป็นส่วนหนึ่งของการศึกษาตามหลักสูตรปฏิบัติงานนานาด้านติด

, คณบดีบันทึกวิทยาลัย
(ศาสตราจารย์ นายแพทย์ ศุภวัฒน์ ชุติวงศ์)

คณะกรรมการตรวจสอบวิทยานิพนธ์

, ประธานกรรมการ
(รองศาสตราจารย์ เจริญสม สถาปัตยนัท)
, อาจารย์ที่ปรึกษา
(รองศาสตราจารย์ ดร.สุนทร บุญญาธิกา^r)

, อาจารย์ที่ปรึกษาawan
(อาจารย์ พรวนชลักษณ์ สุริโยธิน)

, กรรมการ
(ผู้ช่วยศาสตราจารย์ ชนิด จิตดาวณิค)

พิมพ์ต้นฉบับบทคัดย่อวิทยานิพนธ์ภาษาไทยในกรอบสีเขียวนี้เพียงแผ่นเดียว

กนกวรรณ อุสันโน : รูปแบบของอุปกรณ์บังแดดที่เหมาะสมสำหรับห้องเรียน : การใช้แสงสว่างธรรมชาติ และลดการถ่ายเท ความร้อนเข้าสู่ภายในอาคาร (THE APPROPRIATE OF SHADING DEVICES FOR CLASSROOMS : DAYLIGHT UTILIZATION AND HEAT GAIN REDUCTION) อ.พีริกา
: ดร. สุนทร บุญญาภิการ, อ.พีริกาawan : อ.พรวนชักท สุจิโยธิน ; 160 หน้า, ISBN 974-636-753-6

การศึกษาดูรูปแบบที่เหมาะสมของอุปกรณ์บังแดดสำหรับอาคารเรียนที่มีกรอบรั้วนอกอาคาร ในเรื่องการใช้แสงสว่างจากธรรมชาติและการลดการถ่ายเทความร้อนเข้าสู่อาคาร โดยแยกออกเป็น ช่องเปิดที่หันไปทางทิศเหนือ ทิศใต้ ทิศตะวันออก และทิศตะวันตก ทำการศึกษาปริมาณการถ่ายเทแสงและลักษณะการกระจายแสงภายในห้องเรียน ที่มีอุปกรณ์บังแดดดูรูปแบบมาตรฐานเป็นตัวแทนของอุปกรณ์บังแดดที่ใช้กันทั่วไปในปัจจุบัน 12 รูปแบบ เปรียบเทียบกับห้องเรียนขนาดเดียวกันที่ไม่มีอุปกรณ์บังแดด รวมเป็น 13 รูปแบบ แบ่งรูปแบบของอุปกรณ์เป็นอุปกรณ์บังแดดในแนวอน อุปกรณ์บังแดดในแนวตั้ง และ อุปกรณ์บังแดดในแนวอนประกอบกับแนวตั้ง ที่มีขนาดความกว้าง ระะบีนจากอาคาร และความสูงต่างๆ การวัดขึ้นที่ห้องเรียนใน Skydome โดยการสร้างหุ้นสำรองที่มีอุปกรณ์บังแดดดูรูปแบบมาตรฐาน 13 รูปแบบ ทำการจำลองสภาพห้องพักภายใน Skydome ให้อยู่ในสภาพห้องพักไปร่อง(Clear Sky) กำหนด ตำแหน่งของดวงไฟ ให้อยู่ในตำแหน่งเดียวกับตำแหน่งดวงอาทิตย์ในวันที่ทำมุสุนดูดกับใบในทิศทางต่างๆ ศึกษาที่ 21 มีนาคม, 22 มิถุนายน, 23 กันยายน และ 22 ธันวาคม (อาเซียตค่ามุมในแนวราบ Azimuth Angle และมุมในแนวระดับ Altitude Angle เป็นตัวกำหนดตำแหน่ง) โดยถือว่าหันดังกล่าวเป็นตัวแทนของหันทั้งหมดในรอบปี ทำการทดสอบระหว่างเวลาที่อาคารเรียนมีการใช้งานคือ 8:00 -16:00 น. เพื่อศึกษาระดับการส่องสว่าง ณ. ตำแหน่งพื้นที่ใช้งาน ประกอบการคำนวณค่าพลังงานที่ต้องใช้เพิ่มเติมในส่วนของแสงประดิษฐ์และภาวะการทำความเย็นขึ้นเมื่อมาก

ผลจากการวิจัยพบว่า รูปแบบของอุปกรณ์บังแดดที่เหมาะสมสำหรับช่องเปิดในแต่ละทิศมีความแตกต่างกัน ซ่องเปิดของอาคารทางด้านทิศเหนือซึ่งได้รับผลกระทบจากการแพร่รังสีโดยตรงจากดวงอาทิตย์อย่างมาก การใช้อุปกรณ์บังแดดที่เป็นscreen ในแนวอนกับช่องเปิดจะดีกว่า จะมีค่าการใช้พลังงานรวมอัตราเบี่ยงแสงประดิษฐ์ และภาวะการทำความเย็น ใกล้เคียงกับอาคารที่ไม่มีช่องเปิดและอาคารที่มีเพียงความสว่างจากแหล่งกำเนิดแสงประดิษฐ์ และรูปแบบที่เหมาะสมสำหรับช่องเปิดทางด้านทิศเหนือคือ การใช้กระจกHigh Performance ที่มีค่า Coolness Index สูงเปรียกแสงธรรมชาติที่ผ่านกระจก/สัมประสิทธิ์การป้องกันรังสี (SHGC) ซึ่งจะมีค่าการใช้พลังงานรวมเพียง 60% เมื่อเปรียบเทียบกับอาคารไม่มีช่องเปิดที่อาศัยเพียงความสว่างจากแหล่งกำเนิดแสงประดิษฐ์ สำหรับช่องเปิดทางด้านทิศตะวันออกและทิศตะวันตกซึ่งได้รับผลกระทบจากการแพร่รังสีโดยตรงจากดวงอาทิตย์สูงมาก การใช้อุปกรณ์บังแดดกับช่องเปิดจะดีกว่า จะมีค่าการใช้พลังงานรวมสูงกว่าอาคารที่ไม่มีช่องเปิด รูปแบบที่เหมาะสมที่สุดสำหรับอุปกรณ์บังแดดทางทิศตะวันออกและทิศตะวันตกคือการใช้กระจกHigh Performance ที่มีค่า Coolness Indexสูง (Daylight Transmission / Shading Coefficient) ควบคู่กับการใช้อุปกรณ์บังแดดที่เป็น screen ในแนวอนประกอบกับแนวตั้ง ซ่องเปิดทางด้านทิศใต้ รูปแบบที่เหมาะสมที่สุดสำหรับอุปกรณ์บังแดดทางทิศใต้จะมีลักษณะเดียวกับช่องเปิดทางด้านทิศตะวันออก และตะวันตก คือการใช้กระจกHigh Performance ที่มีค่า Coolness Indexสูง ควบคู่กับการใช้อุปกรณ์บังแดดที่เป็น screen ในแนวอนประกอบกับแนวตั้ง ซึ่งจะมีค่าการใช้พลังงานรวมเพียง 60% เมื่อเปรียบเทียบกับอาคารที่ไม่มีช่องเปิด

พิมพ์ต้นฉบับทักษะย่อวิทยานิพนธ์ภายในกรอบสีเขียวเพียงแผ่นเดียว

C835105 : MAJOR BUILDING TECHNOLOGY

KEY WORD:

DAYLIGHT UTILIZATION / SHADING DEVICES / COOLNESS INDEX / DAYLIGHT TRANSMISSION

KANOKWAN USANNO : THE APPROPRIATE OF SHADING DEVICES FOR CLASSROOMS : DAYLIGHT UTILIZATION AND HEAT GAIN REDUCTION. THESIS ADVISOR : ASSIST.PROF.

SOONTORN BOONYATIKARN, Ph.D. 160 pp, ISBN 974-636-753-6

The study of the appropriate shading devices for the classroom focuses on daylight utilization and heat gain reduction in hot-humid climate 14 N. The experiment was conducted by design shading devices for classroom openings on the northside eastside, southside and westside to study daylight quantity and daylight distribution in those classrooms with 13 typical shading devices. The 13 typical daylight models composed of 3 categories; horizontal shading device/vertical shading device and combination of horizontal/vertical shading device. The research was conducted in the skydome and the 13 typical daylight models were built to study daylight quantity. Required artificial light and cooling load from these models was calculated to compare total energy consumption. Sky condition in the skydome was simulated as clear sky. The position of the light source referring to the sun was fixed at the same position of the sun on 21 March, 22 June, 23 September and 22 December (equinox, summer solstice and winter solstice) which represents to the days through the year. Azimuth angle and altitude angle were used to fix the position of light source and the experiment started at working time 8.00 - 16.00.

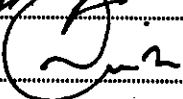
The results of the experiments indicate the appropriate of the shading devices in each direction is different. Northside openings derive less effect from solar radiation than other sides. The use of horizontal overhang can block the sun but result in total energy consumption no different from non-opening classrooms. The use of high performance glazing in which high coolness index (The ratio of daylight transmission : shading coefficient) can reduce total energy consumption to 60% of non-opening classroom is the appropriate shading device in this orientation. Eastside and westside openings derives more effect from solar radiation than others. The most appropriate method is using high performance glazing with the combination of overhang, louvre and vertical shading devices. For southside openings : the appropriate shading devices is overhang-louvre shading devices. From the research : This method result in 70% of total energy consumption in comparison to non-opening classroom.

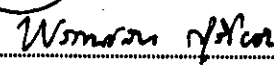
ภาควิชา สถาปัตยกรรมศาสตร์

สาขาวิชา เทคโนโลยีทางอากาศ

ปีการศึกษา 2539

ลายมือชื่อนักเรียน 

ลายมือชื่ออาจารย์ที่ปรึกษา 

ลายมือชื่ออาจารย์ที่ปรึกษาร่วม 

กิตติกรรมประกาศ

วิทยานิพนธ์ฉบับนี้สำเร็จได้ด้วยดีเนื่องจากได้รับความอนุเคราะห์จาก
ศ.ดร.สุนทร บุญญาธิกา อาจารย์ที่ปรึกษาวิทยานิพนธ์ อาจารย์ พรรณาลักษณ์ สุริเยธิน
อาจารย์ที่ปรึกษาร่วม ที่ได้กรุณาให้คำแนะนำ และคำปรึกษาที่มีประโยชน์อย่างยิ่งในงานวิจัย
คุณวุฒิ บุตรະธรรม คุณเฉลิมพงษ์ นัยวัฒน์ คุณมานะ นุตินทะ ที่ได้กรุณาเอื้อเพื่อข้อมูลใน
งานวิจัย นักศึกษามหาวิทยาลัยคริสต์ปัฐมที่ช่วยเหลือในการเก็บข้อมูลตลอดจนเพื่อนร่วมรั้มนปทุก
ท่านที่ช่วยเป็นกำลังใจในการทำวิทยานิพนธ์ครั้งนี้

ท้ายที่สุดนี้ขอกราบขอบพระคุณบิดา มารดา ในความห่วงใย และเป็นกำลังใจด้วยดี
ตลอดมา

สถาบันวิทยบริการ
จุฬาลงกรณ์มหาวิทยาลัย

สารบัญ

	หน้า
บทคัดย่อภาษาไทย.....	๑
บทคัดย่อภาษาอังกฤษ.....	๑
กิตติกรรมประกาศ.....	๙
สารบัญ.....	๑
สารบัญตารางประกอบ	๙
สารบัญรูปประกอบ	๙
สารบัญแผนภูมิประกอบ	๑
บทที่ ๑ บทนำ.....	๑
1.1 ความเป็นมาของปัญหา.....	๒
1.2 วัตถุประสงค์ในการวิจัย.....	๔
1.3 ขอบเขตการวิจัย.....	๔
1.4 ระเบียบวิธีวิจัย	๕
1.5 ประโยชน์ที่คาดว่าจะได้รับ	๗
บทที่ ๒ การศึกษาแนวความคิดและงานวิจัยที่เกี่ยวข้อง	๙
2.1 รูปแบบของช่องเปิดและอุปกรณ์กันตก.....	๑๓
2.2 การนำแสงธรรมชาติเข้ามาใช้ในอาคารเรียน.....	๑๘
บทที่ ๓ ทฤษฎีเกี่ยวกับแสงและแสงธรรมชาติ	๒๑
3.1 ธรรมชาติของแสงและการมองเห็น.....	๒๑
3.2 พฤติกรรมของแสง.....	๒๒
3.3 การวัดค่าความสว่าง.....	๒๖
3.4 การส่องสว่าง.....	๒๘
3.5 คุณสมบัติอื่น ๆ ของแสง	๒๙
3.6 ทฤษฎีเกี่ยวกับแสงธรรมชาติ	๒๙
บทที่ ๔ ทฤษฎีการให้ความสว่างแก่อาคารโดยการใช้แสงประดิษฐ์.....	๓๖
4.1 POINT BY POINT METHOD.....	๓๖
4.2 ZONAL CAVITY METHOD	๓๘

สารบัญ(ต่อ)

	หน้า
4.3 การคำนวณค่า CU	42
4.4 การหาค่าความเสื่อมของหลอดไฟ	43
4.5 การหาค่าความเสื่อมของดวงโคม.....	43
บทที่ 5 หุ่นจำลองและเครื่องมือที่ใช้และขั้นตอนในการทำวิจัย.....	46
5.1 หุ่นจำลองที่ใช้ในงานวิจัย	46
5.2 เครื่องมือที่ใช้ในงานวิจัย.....	48
5.3 รูปแบบของอุปกรณ์บังแดดที่ใช้ในการทำวิจัย	52
5.4 ขั้นตอนในการทำงานวิจัย.....	61
บทที่ 6 การวิเคราะห์เปรียบเทียบความเหมาะสมของรูปแบบช่องเปิดและอุปกรณ์บังแดด ในเชิงการใช้พลังงานในอาคาร.....	63
6.1 การวิเคราะห์ข้อมูลจาก Daylight Model	63
6.2 การศึกษาเปรียบเทียบปริมาณแสงสว่างธรรมชาติด้วยกับปริมาณแสงใน Skydome.....	65
6.3 การคำนวณปริมาณการต้องสว่างในส่วนของแสงปะดิษฐ์ที่ต้องใช้เพิ่ม	80
6.4 การคำนวณพลังงานที่ต้องใช้ในส่วนของกระบวนการทำความเย็น	105
บทที่ 7 บทสรุปและข้อเสนอแนะ	126
7.1 รูปแบบของอุปกรณ์บังแดดที่เหมาะสม	126
7.2 ข้อเสนอแนะในการทำงานวิจัย	154
รายการอ้างอิง	155
ภาคผนวก	157
ประวัติผู้เขียน	205

สารบัญตารางประกอบ

หน้า

ตารางที่ 1 ความยาวคลื่นของ Visible Spectrum ที่ตอบสนองต่อวัตถุสีต่างๆ.....	22
ตารางที่ 2 ระดับความจ้าของวัตถุที่มีผลต่อการสังเกต.....	
ตารางที่ 3 รายการทดสอบหุ่นจำลองที่ใช้ในงานวิจัย.....	64
ตารางที่ 4 หุ่นจำลองที่ได้รับผลกระทบจากการแพรังสีโดยตรงจากดวงอาทิตย์	66
ตารางที่ 5 ปริมาณการส่องสว่างจากแสงประดิษฐ์ที่ต้องการ(%) ซึ่งเปิดด้านทิศเหนือ	
ณ. วันที่ 21 มีนาคม และ 24 กันยายน 8.00n - 16.00n.....	82
ตารางที่ 6 ปริมาณการส่องสว่างจากแสงประดิษฐ์ที่ต้องการ(%) ซึ่งเปิดด้านทิศเหนือ	
ณ. วันที่ 22 มิถุนายน 8.00n - 16.00n.....	82
ตารางที่ 7 ปริมาณการส่องสว่างจากแสงประดิษฐ์ที่ต้องการ(%) ซึ่งเปิดด้านทิศเหนือ	
ณ. วันที่ 22 ธันวาคม 8.00n - 16.00n	82
ตารางที่ 8 ปริมาณการส่องสว่างจากแสงประดิษฐ์ที่ต้องการ(%) ซึ่งเปิดด้านทิศตะวันออก	
ณ. วันที่ 21 มีนาคม และ 24 กันยายน 8.00n - 16.00n.....	83
ตารางที่ 9 ปริมาณการส่องสว่างจากแสงประดิษฐ์ที่ต้องการ(%) ซึ่งเปิดด้านทิศตะวันออก	
ณ. วันที่ 22 มิถุนายน 8.00n - 16.00n.....	83
ตารางที่ 10 ปริมาณการส่องสว่างจากแสงประดิษฐ์ที่ต้องการ(%) ซึ่งเปิดด้านทิศตะวันออก	
ณ. วันที่ 22 ธันวาคม 8.00n - 16.00n	83
ตารางที่ 11 ปริมาณการส่องสว่างจากแสงประดิษฐ์ที่ต้องการ(%) ซึ่งเปิดด้านทิศใต้	
ณ. วันที่ 21 มีนาคม และ 24 กันยายน 8.00n - 16.00n.....	84
ตารางที่ 12 ปริมาณการส่องสว่างจากแสงประดิษฐ์ที่ต้องการ(%) ซึ่งเปิดด้านทิศใต้	
ณ. วันที่ 22 มิถุนายน 8.00n - 16.00n.....	84
ตารางที่ 13 ปริมาณการส่องสว่างจากแสงประดิษฐ์ที่ต้องการ(%) ซึ่งเปิดด้านทิศใต้	
ณ. วันที่ 22 ธันวาคม 8.00n - 16.00n	84
ตารางที่ 14 ปริมาณการส่องสว่างจากแสงประดิษฐ์ที่ต้องการ(%) ซึ่งเปิดด้านทิศตะวันตก	
ณ. วันที่ 21 มีนาคม และ 24 กันยายน 8.00n - 16.00n.....	85

สารบัญตารางประจำฉบับ(ต่อ)

หน้า

ตารางที่ 15	ปริมาณการส่องสว่างจากแสงประดิษฐ์ที่ต้องการ(%) ช่องเปิดด้านทิศตะวันตก วันที่ 22 มิถุนายน 8.00น - 16.00น.....	85
ตารางที่ 16	ปริมาณการส่องสว่างจากแสงประดิษฐ์ที่ต้องการ(%) ช่องเปิดด้านทิศตะวันออก วันที่ 22 ธันวาคม 8.00น - 16.00น.....	85
ตารางที่ 17	ค่าเฉลี่ยปริมาณการส่องสว่างจากแสงประดิษฐ์ที่ต้องการ(%) ช่องเปิดด้านทิศเหนือ วันที่ 21 มีนาคม และ 24 กันยายน.....	99
ตารางที่ 18	ค่าเฉลี่ยปริมาณการส่องสว่างจากแสงประดิษฐ์ที่ต้องการ(%) ช่องเปิดด้านทิศเหนือ วันที่ 22 มิถุนายน	99
ตารางที่ 19	ค่าเฉลี่ยปริมาณการส่องสว่างจากแสงประดิษฐ์ที่ต้องการ(%) ช่องเปิดด้านทิศเหนือ วันที่ 22 ธันวาคม	99
ตารางที่ 20	ค่าเฉลี่ยปริมาณการส่องสว่างจากแสงประดิษฐ์ที่ต้องการ(%) ช่องเปิดด้านทิศตะวันออก วันที่ 21 มีนาคม และ 24 กันยายน.....	100
ตารางที่ 21	ค่าเฉลี่ยปริมาณการส่องสว่างจากแสงประดิษฐ์ที่ต้องการ(%) ช่องเปิดด้านทิศตะวันออก วันที่ 22 มิถุนายน	100
ตารางที่ 22	ค่าเฉลี่ยปริมาณการส่องสว่างจากแสงประดิษฐ์ที่ต้องการ(%) ช่องเปิดด้านทิศตะวันออก วันที่ 22 ธันวาคม	100
ตารางที่ 23	ค่าเฉลี่ยปริมาณการส่องสว่างจากแสงประดิษฐ์ที่ต้องการ(%) ช่องเปิดด้านทิศใต้ วันที่ 21 มีนาคม และ 24 กันยายน	101
ตารางที่ 24	ค่าเฉลี่ยปริมาณการส่องสว่างจากแสงประดิษฐ์ที่ต้องการ(%) ช่องเปิดด้านทิศใต้ วันที่ 22 มิถุนายน	101
ตารางที่ 25	ค่าเฉลี่ยปริมาณการส่องสว่างจากแสงประดิษฐ์ที่ต้องการ(%) ช่องเปิดด้านทิศใต้ วันที่ 22 ธันวาคม	101
ตารางที่ 26	ค่าเฉลี่ยปริมาณการส่องสว่างจากแสงประดิษฐ์ที่ต้องการ(%) ช่องเปิดด้านทิศตะวันตก วันที่ 21 มีนาคม และ 24 กันยายน.....	102
ตารางที่ 27	ค่าเฉลี่ยปริมาณการส่องสว่างจากแสงประดิษฐ์ที่ต้องการ(%) ช่องเปิดด้านทิศตะวันตก วันที่ 22 มิถุนายน.....	102

สารบัญตารางประกอบ(ต่อ)

หน้า

ตารางที่ 28	ค่าเฉลี่ยปริมาณการส่องสว่างจากแสงประดิษฐ์ที่ต้องการ(%)	
	ช่องเปิดด้านทิศตะวันตก วันที่ 22 ธันวาคม	102
ตารางที่ 29	ความร้อนที่เข้าสู่อาคารผ่านช่องเปิดด้านทิศเหนือ (M2)	107
ตารางที่ 30	ความร้อนที่เข้าสู่อาคารผ่านช่องเปิดด้านทิศเหนือ (M3)	108
ตารางที่ 31	ความร้อนที่เข้าสู่อาคารผ่านช่องเปิดด้านทิศเหนือ (M4)	109
ตารางที่ 32	ความร้อนที่เข้าสู่อาคารผ่านช่องเปิดด้านทิศเหนือ (M5)	110
ตารางที่ 33	ความร้อนที่เข้าสู่อาคารผ่านช่องเปิดด้านทิศเหนือ (M6)	111
ตารางที่ 34	ความร้อนที่เข้าสู่อาคารผ่านช่องเปิดด้านทิศเหนือ (M7)	112
ตารางที่ 35	ความร้อนที่เข้าสู่อาคารผ่านช่องเปิดด้านทิศเหนือ (M10)	113
ตารางที่ 36	ความร้อนที่เข้าสู่อาคารผ่านช่องเปิดด้านทิศเหนือ (M11)	114
ตารางที่ 37	ความร้อนที่เข้าสู่อาคารผ่านช่องเปิดด้านทิศเหนือ (M12)	115
ตารางที่ 38	ความร้อนที่เข้าสู่อาคารผ่านช่องเปิดด้านทิศตะวันออก (M11)	116
ตารางที่ 39	ความร้อนที่เข้าสู่อาคารผ่านช่องเปิดด้านทิศตะวันออก (M12)	117
ตารางที่ 40	ความร้อนที่เข้าสู่อาคารผ่านช่องเปิดด้านทิศใต้ (M8)	118
ตารางที่ 41	ความร้อนที่เข้าสู่อาคารผ่านช่องเปิดด้านทิศใต้ (M9)	119
ตารางที่ 42	ความร้อนที่เข้าสู่อาคารผ่านช่องเปิดด้านทิศใต้ (M10)	120
ตารางที่ 43	ความร้อนที่เข้าสู่อาคารผ่านช่องเปิดด้านทิศใต้ (M11)	121
ตารางที่ 44	ความร้อนที่เข้าสู่อาคารผ่านช่องเปิดด้านทิศใต้ (M12)	122
ตารางที่ 45	ความร้อนที่เข้าสู่อาคารผ่านช่องเปิดด้านทิศใต้ (M13)	123
ตารางที่ 46	ความร้อนที่เข้าสู่อาคารผ่านช่องเปิดด้านทิศตะวันตก (M11)	124
ตารางที่ 47	ความร้อนที่เข้าสู่อาคารผ่านช่องเปิดด้านทิศตะวันตก (M12)	125
ตารางที่ 48	การใช้พลังงานในส่วนของแสงประดิษฐ์ช่องเปิดด้านทิศเหนือ	128
ตารางที่ 49	การใช้พลังงานในส่วนของภาระการทำความเย็น	129
ตารางที่ 50	การใช้พลังงานโดยรวมจากช่องเปิดด้านทิศเหนือ	130
ตารางที่ 51	ค่ากระแสไฟฟ้ารายปีสำหรับช่องเปิดทางทิศเหนือ	131

สารบัญตารางประกอบ(ต่อ)

หน้า

ตารางที่ 52	การใช้พัลส์งานในส่วนของแสงประดิษฐ์ช่องปิดด้านทิศตะวันออก	135
ตารางที่ 53	การใช้พัลส์งานในส่วนของภาระการทำความเย็น	136
ตารางที่ 54	การใช้พัลส์งานโดยรวมจากช่องปิดด้านทิศตะวันออก	137
ตารางที่ 55	ค่ากระแสไฟฟ้ารายปีสำหรับช่องเปิดทางทิศตะวันออก.....	138
ตารางที่ 56	การใช้พัลส์งานในส่วนของแสงประดิษฐ์ช่องปิดด้านทิศใต้	141
ตารางที่ 57	การใช้พัลส์งานในส่วนของภาระการทำความเย็น	142
ตารางที่ 58	การใช้พัลส์งานโดยรวมจากช่องปิดด้านทิศใต้	143
ตารางที่ 59	ค่ากระแสไฟฟ้ารายปีสำหรับช่องเปิดทางทิศใต้	144
ตารางที่ 60	การใช้พัลส์งานในส่วนของแสงประดิษฐ์ช่องปิดด้านทิศตะวันตก.....	148
ตารางที่ 61	การใช้พัลส์งานในส่วนของภาระการทำความเย็น	149
ตารางที่ 62	การใช้พัลส์งานโดยรวมจากช่องเปิดด้านทิศตะวันตก	150
ตารางที่ 63	ค่ากระแสไฟฟ้ารายปีสำหรับช่องเปิดทางทิศตะวันตก.....	151
ตารางที่ 64	การใช้พัลส์งานโดยรวมของอุปกรณ์บังแดดที่มีความเหมาะสมในทิศทางต่างๆ.....	152

**สถาบันวิทยบริการ
จุฬาลงกรณ์มหาวิทยาลัย**

สารนัญรูปประกอบ

หน้า

รูปที่ 1	ช่องเปิดที่มีอุปกรณ์กันแดด(Shading Devices).....	11
รูปที่ 2	ช่องเปิดที่ไม่มีอุปกรณ์กันแดด(Non-Shading Devices)	12
รูปที่ 3	การแบ่งประภากของช่องเปิดที่มีอุปกรณ์กันแดด	15
รูปที่ 4	การแบ่งประภากของช่องเปิดที่ไม่มีอุปกรณ์กันแดด	16
รูปที่ 5	อุปกรณ์กันแดดโดยทั่วไป	17
รูปที่ 6	รูปแบบของห้องเรียนโดยทั่วไป	18
รูปที่ 7	ระดับความสูงมาตรฐานของโต๊ะทำงาน	19
รูปที่ 8	スペคตรัมของคลื่นต่างๆเรียงลำดับตามความยาวคลื่น.....	21
รูปที่ 9	ปรากฏการณ์แสงกระทำต่อวัตถุ.....	22
รูปที่ 10	การสะท้อนที่ผิววัตถุแบบ Specular reflection	23
รูปที่ 11	การกระจายแบบ Diffuse reflection	23
รูปที่ 12	การกระจายแบบ Combined specular and diffuse reflection.....	24
รูปที่ 13	ปรากฏการณ์ของแสงที่ทางลูป้านวัตถุ.....	24
รูปที่ 14	การหักเหของแสงเมื่อทางลูป้านตัวกลาง	25
รูปที่ 15	การตัดกลืนแสงโดยตัวกลาง.....	25
รูปที่ 16	ความเข้มของการส่องสว่างที่เปลี่ยนไปตามมุมที่ทำกับแหล่งกำเนิดแสง	26
รูปที่ 17	การทำหนบปริมาณการส่องสว่าง 1 พูดแคนเดล และ 1 ลักซ์	27
รูปที่ 18	ปริมาณการส่องสว่าง 1cd จากแหล่งกำเนิดแสง	28
รูปที่ 19	Solar Spectrum	33
รูปที่ 20	ตำแหน่ง และระยะห่างระหว่างโลกกับดวงอาทิตย์ ที่วันเวลาต่างๆ.....	33
รูปที่ 21	ปรากฏการณ์ที่ดวงอาทิตย์อ้อมเหนือ และอ้อมใต้.....	34
รูปที่ 22	ปรากฏการณ์ Summer Solstice, Winter Solstice และ Equinox.....	34
รูปที่ 23	ค่าความสว่างของท้องฟ้าในสภาวะ Overcast Sky	36
รูปที่ 24	ค่าความสว่างของท้องฟ้าในสภาวะ Clear Sky	35

สารบัญรูปประกอบ(ต่อ)

หน้า

รูปที่ 25	การกระจายกำลังเทียนของดวงโคม.....	37
รูปที่ 26	การแบ่งที่ว่างภายในห้องเพื่อคำนวณตามวิธี Zonal Cavity Method.....	41
รูปที่ 27	ขั้นตอนการหาค่า Coefficient of Utilization จากแสงประดิษฐ์	44
รูปที่ 28	รูปแบบหุ่นจำลองมาตรฐานที่ใช้ในงานวิจัย.....	46
รูปที่ 29	เครื่องมือที่ใช้วัดค่าความสว่าง(Quantum/Radiometer/Photometer).....	48
รูปที่ 30	หุ่นจำลองที่ใช้ในงานวิจัย.....	49
รูปที่ 31	กล้องที่ใช้ในการติดตั้งsensor ให้อยู่ในระดับworking plane	49
รูปที่ 32	การทดสอบความทึบแสงของหุ่นจำลอง	50
รูปที่ 33	การต่อ sensor ที่อยู่ภายใต้หุ่นจำลอง กับจอแสดงผลภายนอกหุ่นจำลอง.....	50
รูปที่ 34	ชุดเครื่องมือที่ใช้วัดค่าความสว่าง Sensor+ก้านสำหรับเลื่อนตำแหน่ง+จอแสดงผล.....	51
รูปที่ 35	หุ่นจำลองแบบที่ 1.....	54
รูปที่ 36	หุ่นจำลองแบบที่ 2.....	54
รูปที่ 37	หุ่นจำลองแบบที่ 3.....	55
รูปที่ 38	หุ่นจำลองแบบที่ 4.....	55
รูปที่ 39	หุ่นจำลองแบบที่ 5.....	56
รูปที่ 40	หุ่นจำลองแบบที่ 6.....	56
รูปที่ 41	หุ่นจำลองแบบที่ 7.....	57
รูปที่ 42	หุ่นจำลองแบบที่ 8.....	57
รูปที่ 43	หุ่นจำลองแบบที่ 9.....	58
รูปที่ 44	หุ่นจำลองแบบที่ 10.....	58
รูปที่ 45	หุ่นจำลองแบบที่ 11.....	59
รูปที่ 46	หุ่นจำลองแบบที่ 12.....	59
รูปที่ 47	หุ่นจำลองแบบที่ 13.....	60
รูปที่ 48	การทดสอบค่าความสว่างในแนวราบและแนวตั้งภายในSkydome	61
รูปที่ 49	การหาค่าเฉลี่ยของปริมาณการส่องสว่างจากแหล่งกำเนิดแสงประดิษฐ์.....	98

สารบัญแผนภูมิประกอบ

หน้า

แผนภูมิที่ 1	การกระจายแสงธรรมชาติภายในหุ่นจำลองจากช่องเปิดด้านทิศเหนือ	
	ณ. วันที่ 21 มีนาคม และ 24 กันยายน 8.00n, 10.00n และ 12.00n	68
แผนภูมิที่ 2	การกระจายแสงธรรมชาติภายในหุ่นจำลองจากช่องเปิดด้านทิศเหนือ	
	ณ. วันที่ 22 มิถุนายน 8.00n, 10.00n และ 12.00n.....	69
แผนภูมิที่ 3	การกระจายแสงธรรมชาติภายในหุ่นจำลองจากช่องเปิดด้านทิศเหนือ	
	ณ. วันที่ 22 ธันวาคม 8.00n, 10.00n และ 12.00n.....	70
แผนภูมิที่ 4	การกระจายแสงธรรมชาติภายในหุ่นจำลองจากช่องเปิดด้านทิศตะวันออก	
	ณ. วันที่ 21 มีนาคม และ 24 กันยายน 8.00n, 10.00n และ 12.00n	71
แผนภูมิที่ 5	การกระจายแสงธรรมชาติภายในหุ่นจำลองจากช่องเปิดด้านทิศตะวันออก	
	ณ. วันที่ 22 มิถุนายน 8.00n, 10.00n และ 12.00n.....	72
แผนภูมิที่ 6	การกระจายแสงธรรมชาติภายในหุ่นจำลองจากช่องเปิดด้านทิศตะวันออก	
	ณ. วันที่ 22 ธันวาคม 8.00n, 10.00n และ 12.00n.....	73
แผนภูมิที่ 7	การกระจายแสงธรรมชาติภายในหุ่นจำลองจากช่องเปิดด้านทิศใต้	
	ณ. วันที่ 21 มีนาคม และ 24 กันยายน 8.00n, 10.00n และ 12.00n	74
แผนภูมิที่ 8	การกระจายแสงธรรมชาติภายในหุ่นจำลองจากช่องเปิดด้านทิศใต้	
	ณ. วันที่ 22 มิถุนายน 8.00n, 10.00n และ 12.00n.....	75
แผนภูมิที่ 9	การกระจายแสงธรรมชาติภายในหุ่นจำลองจากช่องเปิดด้านทิศใต้	
	ณ. วันที่ 22 ธันวาคม 8.00n, 10.00n และ 12.00n.....	76
แผนภูมิที่ 10	การกระจายแสงธรรมชาติภายในหุ่นจำลองจากช่องเปิดด้านทิศตะวันตก	
	ณ. วันที่ 21 มีนาคม และ 24 กันยายน 8.00n, 10.00n และ 12.00n	77
แผนภูมิที่ 11	การกระจายแสงธรรมชาติภายในหุ่นจำลองจากช่องเปิดด้านทิศตะวันตก	
	ณ. วันที่ 22 มิถุนายน 8.00n, 10.00n และ 12.00n.....	78
แผนภูมิที่ 12	การกระจายแสงธรรมชาติภายในหุ่นจำลองจากช่องเปิดด้านทิศตะวันตก	
	ณ. วันที่ 22 ธันวาคม 8.00n, 10.00n และ 12.00n.....	79
แผนภูมิที่ 13	การแบ่งพื้นที่ได้กราฟเพื่อคำนวณปริมาณการส่องสว่างที่ต้องเพิ่มเติม	81

สารบัญแผนภูมิประกอบ(ต่อ)

หน้า

แผนภูมิที่ 14	ปริมาณการส่องสว่างจากแสงประดิษฐ์ที่ต้องการ(%) ซึ่งเปิดด้านทิศเหนือ	
	ณ. วันที่ 21 มีนาคม และ 24 กันยายน 8.00น - 16.00น.....	86
แผนภูมิที่ 15	ปริมาณการส่องสว่างจากแสงประดิษฐ์ที่ต้องการ(%) ซึ่งเปิดด้านทิศเหนือ	
	ณ. วันที่ 22 มิถุนายน 8.00น - 16.00น	87
แผนภูมิที่ 16	ปริมาณการส่องสว่างจากแสงประดิษฐ์ที่ต้องการ(%) ซึ่งเปิดด้านทิศเหนือ	
	ณ. วันที่ 22 ธันวาคม 8.00น - 16.00น	88
แผนภูมิที่ 17	ปริมาณการส่องสว่างจากแสงประดิษฐ์ที่ต้องการ(%) ซึ่งเปิดด้านทิศตะวันออก	
	ณ. วันที่ 21 มีนาคม และ 24 กันยายน 8.00น - 16.00น.....	89
แผนภูมิที่ 18	ปริมาณการส่องสว่างจากแสงประดิษฐ์ที่ต้องการ(%) ซึ่งเปิดด้านทิศตะวันออก	
	ณ. วันที่ 22 มิถุนายน 8.00น - 16.00น	90
แผนภูมิที่ 19	ปริมาณการส่องสว่างจากแสงประดิษฐ์ที่ต้องการ(%) ซึ่งเปิดด้านทิศตะวันออก	
	ณ. วันที่ 22 ธันวาคม 8.00น - 16.00น	91
แผนภูมิที่ 20	ปริมาณการส่องสว่างจากแสงประดิษฐ์ที่ต้องการ(%) ซึ่งเปิดด้านทิศใต้	
	ณ. วันที่ 21 มีนาคม และ 24 กันยายน 8.00น - 16.00น.....	92
แผนภูมิที่ 21	ปริมาณการส่องสว่างจากแสงประดิษฐ์ที่ต้องการ(%) ซึ่งเปิดด้านทิศใต้	
	ณ. วันที่ 22 มิถุนายน 8.00น - 16.00น	93
แผนภูมิที่ 22	ปริมาณการส่องสว่างจากแสงประดิษฐ์ที่ต้องการ(%) ซึ่งเปิดด้านทิศใต้	
	ณ. วันที่ 22 ธันวาคม 8.00น - 16.00น	94
แผนภูมิที่ 23	ปริมาณการส่องสว่างจากแสงประดิษฐ์ที่ต้องการ(%) ซึ่งเปิดด้านทิศตะวันตก	
	ณ. วันที่ 21 มีนาคม และ 24 กันยายน 8.00น - 16.00น.....	95
แผนภูมิที่ 24	ปริมาณการส่องสว่างจากแสงประดิษฐ์ที่ต้องการ(%) ซึ่งเปิดด้านทิศตะวันตก	
	ณ. วันที่ 22 มิถุนายน 8.00น - 16.00น	96
แผนภูมิที่ 25	ปริมาณการส่องสว่างจากแสงประดิษฐ์ที่ต้องการ(%) ซึ่งเปิดด้านทิศตะวันตก	
	ณ. วันที่ 22 ธันวาคม 8.00น - 16.00น	97